

# یک شاخص جدید به منظور ارزیابی اثر منابع تولید پراکنده بر هماهنگی رله‌های اضافه جریان

عباس صابری نوچابی<sup>۱</sup>، استادیار

۱- دانشکده مهندسی برق و کامپیوتر - دانشگاه بیرجند - بیرجند - ایران - a.saberi@birjand.ac.ir

**چکیده:** حضور منابع تولید پراکنده (DG) در سیستم قدرت در مقابل مزایای اقتصادی آن، می‌تواند باعث ایجاد عدم هماهنگی در عملکرد رله‌های اضافه جریان گردد. در این مقاله شاخص جدیدی، مستقل از تنظیمات رله‌ها، به منظور تعیین میزان تأثیر نصب DG بر قیود هماهنگی رله‌های اضافه جریان ارائه گردیده است. در صورت حضور منابع تولید پراکنده در شبکه، جریان خطای عبوری از رله‌های پشتیبان و اصلی نسبت به حالت عدم حضور آن منابع تغییر می‌کند. بر این اساس شاخص پیشنهادی برای هر زوج رله به صورت تفاضل نرخ تغییرات جریان خطای عبوری از رله پشتیبان و نرخ تغییرات جریان خطای عبوری از رله اصلی تعریف گردیده است. با روابط ریاضی نشان داده شده است که در صورت نصب DG، برای هر قید هماهنگی علامت شاخص پیشنهادی نشان دهنده کاهش یا افزایش فاصله زمانی هماهنگی بوده و اندازه شاخص پیشنهادی نشان دهنده میزان کاهش فاصله زمانی هماهنگی بوده است. شاخص پیشنهادی برای قیود هماهنگی رله‌های اضافه جریان یک شبکه ۸ شینه به ازای نصب DG در شین‌های مختلف شبکه محاسبه گردیده است. نتایج درستی شاخص پیشنهادی در ارزیابی میزان تأثیر مکان نصب و ظرفیت DG بر قیود هماهنگی را نشان داده است. همچنین مکان‌های نصب و ظرفیت‌های DG به کمک این شاخص رتبه‌بندی گردیده است.

**واژه‌های کلیدی:** هماهنگی رله‌های اضافه جریان، منابع تولید پراکنده، شاخص پیشنهادی.

## A New Index for Evaluating Distributed Generation Impacts on Overcurrent Relay Coordination

A. Saberi Noughabi, Assistant Professor<sup>1</sup>

۱- Faculty of Electrical and Computer Engineering, University of Birjand, Birjand, Iran, a.saberi@birjand.ac.ir

**Abstract:** The presence of Distributed Generation (DG) resources in power system, versus economic benefits, can be cause a miss-coordination in operation of overcurrent relay. In this paper, a new index is proposed to determine the impact of DG installation on coordination constraints of overcurrent relay, independent of relay settings. In the presence of DG in network, the fault current passing through the backup and primary relays change in compare to the no presence of DG. According to this, the proposed index is defined as the difference between the rate of change of fault current passing through backup relay and the rate of change of fault current passing through primary relay, for each relay pairs. In the presence of DG, mathematically proven that the sign of the proposed index for each coordination constraints, indicates the increase or decrease of coordination time interval and the measure of proposed index indicates the reduction of coordination time interval. The proposed index for the coordination constraints of overcurrent relay of an 8-bus test system is determined at each DG location. The results have shown the correctness of proposed index to evaluate the impact of location and capacity of DG on the coordination constraints. Also, the locations and capacities of DG have been ranked base on proposed index.

**Keywords:** Overcurrent relay coordination, distributed generation, proposed index.

تاریخ ارسال مقاله: ۱۳۹۴/۶/۲

تاریخ اصلاح مقاله: ۱۳۹۴/۹/۶

تاریخ پذیرش مقاله: ۱۳۹۴/۱۱/۳

نام نویسنده مسئول: عباس صابری نوچابی

نشانی نویسنده مسئول: ایران - بیرجند - دانشگاه بیرجند - دانشکده مهندسی برق و کامپیوتر - گروه برق

## ۱- مقدمه

حافظتی را نشان می‌دهد. در این مقاله حداکثر ظرفیت قابل نصب DG به نحوی تعیین گردیده که احتمال وقوع عدم هماهنگی حداقل گردد. یک شاخص هماهنگی حفاظتی<sup>\*</sup> (PCI) برای طراحان سیستم توزیع در حضور DG در [۱۲] پیشنهاد گردیده است. این شاخص به صورت بهینه بر اساس نسبت تغییرات ظرفیت DG به تغییرات فاصله زمانی هماهنگی تعریف گردیده که میزان کاهش فاصله زمانی هماهنگی رله‌های اصلی/پشتیبان در اثر افزایش ظرفیت DG را نشان می‌دهد. یک مسئله بهینه‌سازی غیرخطی دو مرحله‌ای برای تعیین مقدار بهینه شاخص PCI پیشنهاد گردیده است. در [۱۳] ابتدا اثر DG بر عملکرد سیستم حفاظتی شبکه توزیع بررسی گردیده سپس سه شاخص برای تعیین میزان ریسک سیستم حفاظتی بر اثر تغییر مکان و ظرفیت DG پیشنهاد و ارزیابی گردیده است. نتایج نشان داده در صورتی که بدون عملکرد جزیره‌ای باشد ریسک سیستم حفاظتی در صورت نصب افزایش خواهد یافت.

شاخص ارائه شده در [۱۱-۱۲] به تنظیمات رله‌های اضافه جریان وابسته است. در این مقاله به منظور تعیین میزان تأثیر مکان و ظرفیت DG بر قیود مسئله هماهنگی رله‌های اضافه جریان شاخص جدیدی ارائه گردیده است. حضور منابع تولید پراکنده در شبکه، باعث تغییر جریان خطای عبوری از رله‌های پشتیبان و اصلی نسبت به حالت عدم حضور آن منابع می‌گردد. لذا تفاصل نرخ تغییرات جریان‌های اتصال کوتاه عبوری از رله پشتیبان و نرخ تغییرات جریان‌های اتصال کوتاه عبوری از رله اصلی به صورت یک شاخص جدید، مستقل از تنظیمات عبوری، تعريف شده است. با روابط ریاضی اثبات گردیده که این شاخص می‌تواند میزان کاهش یا افزایش فاصله زمانی هماهنگی را برای هر قید هماهنگی، در صورت نصب DG، تعیین نماید. به کمک شاخص پیشنهادی می‌توان بهترین مکان و ظرفیت DG را از دیدگاه مسئله هماهنگی تعیین نمود. همچنین زوج رله‌ای که هماهنگی آن‌ها تأثیر پیشتری از نصب DG می‌پذیرند به کمک این شاخص قابل تشخیص است. با استفاده از یک شبکه نمونه ۸ شینه، درستی شاخص پیشنهادی در تعیین میزان تأثیر DG بر قیود هماهنگی نشان داده شده است.

## ۲- مسئله هماهنگی رله‌های اضافه جریان

رله‌های اضافه جریان معکوس زمانی دارای دو ضریب تنظیم جریان و زمان است. در مسئله هماهنگی رله‌های اضافه جریان، هدف تعیین تنظیم جریان و زمان رله‌ها به نحوی است که اولاً خطای ایجاد شده در هر نقطه از شبکه در کمترین زمان ممکن رفع گردد و ثانیاً تداخلی در عملکرد رله‌های اصلی و پشتیبان ایجاد نگردد. لذا در حالت کلی مسئله هماهنگی رله‌های اضافه جریان به صورت یک مسئله بهینه‌سازی مطابق رابطه (۱) تعريف می‌گردد.

$$\begin{aligned} \text{Min} \quad & J(X) \\ \text{s.t.:} \quad & C_m(X) = t_j - t_i - CTI \geq 0 \quad (1) \\ & \forall (i, j) \in \Omega \quad m = 1, 2, \dots, n_{BP} \end{aligned}$$

رله‌های اضافه جریان به عنوان حفاظت اصلی شبکه‌های توزیع و حفاظت پشتیبان شبکه‌های انتقال و فوق توزیع مورد استفاده قرار می‌گیرد. در شبکه‌هایی که جریان خطای در نقاط مختلف آن به ازای یک خطای مشابه تفاوت محسوسی داشته باشد، رله‌های اضافه جریان می‌تواند کاربرد مؤثر داشته باشد [۱]. مسئله هماهنگی بهینه رله‌های اضافه جریان عبارت است از تعیین تنظیم جریان و تنظیم زمان این رله‌ها به نحوی که کوچک‌ترین جزء سیستم که خطای در آن رخداده در گمترین زمان ممکن از شبکه جدا گردد. برای رسیدن به این منظور باید اولاً زمان عملکرد رله‌های اضافه جریان حداقل گردد و ثانیاً هیچ‌گونه عدم هماهنگی در عملکرد رله‌های اصلی و پشتیبان ایجاد نگردد [۲].

امروزه منابع تولید پراکنده<sup>۱</sup> (DG) به دلیل مزایای اقتصادی و زیست محیطی بالای آن به طور گسترده در شبکه‌های توزیع کاربرد پیدا کرده است [۴، ۳]. اتصال این منابع به شبکه‌های توزیع یا فوق توزیع باعث تغییر سطح اتصال کوتاه شبکه گردیده و بر جریان اتصال کوتاه و نهایتاً زمان عملکرد رله‌های اضافه جریان تأثیرگذار است. تغییر زمان عملکرد رله‌های اصلی و پشتیبان می‌تواند باعث ایجاد عدم هماهنگی در عملکرد رله‌های اضافه جریان گردد [۵].

میزان تأثیر DG بر مسئله هماهنگی به شدت به مکان و ظرفیت آن منابع وابسته است. در [۶] اثر DG اینورتری بر هماهنگی ریکلوزر-فیوز باهدف کاهش عملکرد بی‌مورد فیوز در شبکه توزیع بررسی گردیده است. شرایط مختلف خطای مقاومت‌های مختلف خطای و مکان‌های مختلف DG در این مرجع در نظر گرفته شده است. در [۷] اثر کنترل کننده ولتاژ و جریان در منابع تولید پراکنده اینورتری در سیستم حفاظت صنعتی بررسی گردیده است. همچنین یک الگوریتم رله تطبیقی برای تشخیص خطای در حضور DG اینورتری با انواع کنترل کننده‌ها پیشنهاد گردیده است. حداکثر ظرفیت DG در [۸] برای یک شبکه شعاعی به نحوی تعیین گردیده که هماهنگی حفاظتی در حضور DG نیز برقرار بماند. نتایج نشان داده، روش پیشنهادی در این مرجع شاخص‌های قابلیت اطمینان سیستم را بهبود داده است. با توجه به این که حضور DG باعث عدم هماهنگی ریکلوزر-فیوز و افزایش فیوز سوزی در سیستم قدرت می‌گردد، در [۹] یک رله دیجیتال تطبیقی جدید بر اساس نسبت جریان فیدر به جریان ریکلوزر به منظور کاهش عدم هماهنگی پیشنهاد گردیده است. در [۱۰] یک روش کلاسیک‌بندی برای کاهش عدم هماهنگی ریکلوزر-فیوز در حضور منابع تولید پراکنده ارائه گردیده است. در مرحله اول، بهترین مکان نصب DG به نحوی تعیین گردیده که کمترین هماهنگی ایجاد گردد و در مرحله بعد تنظیمات ریکلوزر به نحوی تعیین گردیده که عدم هماهنگی حداقل گردد.

در [۱۱] یک روش برای ارزیابی اثر DG بر هماهنگی رله‌های اضافه جریان به کمک یک شاخص عدم هماهنگی حفاظتی<sup>\*</sup> (PMI) ارائه گردیده است. این شاخص احتمال وقوع عدم هماهنگی در سیستم

و پشتیبان، جریان‌های عبوری از رله‌های اصلی و پشتیبان به یک نسبت تغییر نخواهد کرد که همین امر می‌تواند باعث ایجاد عدم هماهنگی رله‌های اصلی و پشتیبان گردد. در ادامه با مقایسه قیود هماهنگی برای دو حالت با حضور DG و بدون حضور DG، معیاری برای تعیین میزان تأثیر حضور DG از دیدگاه مسئله هماهنگی ارائه خواهد گردید.

قید هماهنگی رابطه (۱) برای  $t_m$  زوج رله اصلی/پشتیبان (۱)، در صورت عدم حضور DG مجدداً به صورت رابطه (۴) بازنویسی گردیده است.

$$\Delta t_m = t_j - t_i \geq CTI \quad (4)$$

در این رابطه  $\Delta t_m$  فاصله زمانی هماهنگی بین  $t_m$  زوج رله اصلی/پشتیبان به ازای خطا در شین نزدیک رله است.

در صورتی که یک DG روی یک شین شبکه نصب گردد، جریان خطای عبوری از رله تغییر کرده و بالطبع زمان عملکرد رله، مطابق رابطه (۲) به دلیل واستگی به جریان خطای تغییر خواهد کرد. در صورتی که زمان عملکرد رله اصلی و پشتیبان در حضور DG در شین k به ترتیب با  $t_a$  و  $t'_a$  نشان داده شود، لذا داریم:

$$\Delta t'_m = t'_j - t'_i \quad (5)$$

که  $\Delta t'_m$  فاصله زمانی هماهنگی بین  $t_m$  زوج رله اصلی/پشتیبان به ازای خطا در شین نزدیک رله در صورت نصب DG در شین k است. برای این قید دو حالت می‌تواند رخدده:

حالات ۱:  $\Delta t'_m > \Delta t_m$  : در این صورت قید جدید نیز رعایت گردیده ولذا نصب DG در شین k بر قید  $t_m$  تأثیری ندارد.

حالات ۲:  $\Delta t'_m < \Delta t_m$  : در این شرایط نصب DG در شین k بر قید  $t_m$  تأثیرگذار بوده و ممکن است قید جدید رعایت نگردد. لازم به ذکر است هرچه  $\Delta t'_m$  کوچک‌تر باشد می‌توان نتیجه گرفت که نصب DG اثربخش‌تری بر آن قید داشته است. لذا می‌توان از آن برای انتخاب یک معیار برای تعیین میزان تأثیرگذاری DG بر قیود هماهنگی استفاده نمود.

اما  $t_a$  و  $t'_a$  و متناظر با آن  $\Delta t'_m$  به ضرایب تنظیم زمان رله‌های اصلی و پشتیبان وابسته بوده لذا تعیین میزان تأثیرگذاری آن به تنظیمات زمان رله‌ها وابسته بوده که مطلوب نیست. در ادامه شاخصی ارائه گردیده که مستقل از تنظیمات زمان رله‌ها میزان تأثیر حضور DG بر قیود هماهنگی را به صورت یک عدد نشان دهد.

#### ۴- ارائه شاخص پیشنهادی

فاصله زمانی هماهنگی بین رله پشتیبان و رله اصلی مطابق روابط (۴) و (۵) می‌تواند معیار مناسبی برای تعیین میزان تأثیر نصب DG بر قیود هماهنگی باشد: اما محاسبه زمان عملکرد رله به ضریب تنظیم زمانی آن وابسته بوده که بدون حل مسئله هماهنگی معلوم نیست. لذا در این بخش به کمک روابط ریاضی یک شاخص، مستقل از ضریب تنظیم زمانی رله‌ها، متناسب با فاصله زمانی هماهنگی رله‌های اصلی/پشتیبان

در این رابطه، بردار حالت X مجموعه متغیرهای بهینه‌سازی مسئله شامل تنظیمات جریان (Ip) و ضریب تنظیم زمانی (TDS) رله‌های موجود در شبکه بوده و Cm(X) قید هماهنگی برای  $n_{BP}$  زوج رله اصلی/پشتیبان بوده در حالی که  $n_{BP}$  تعداد زوج رله‌های اصلی/پشتیبان است.  $t_a$  و  $t'_a$  به ترتیب زمان عملکرد رله اصلی  $t_a$  و زوج رله اصلی/پشتیبان  $t'_a$  بوده و زوج رله (z) به مجموعه زوج رله‌های اصلی/پشتیبان (Ω) تعلق دارد. CTI نیز حداقل فاصله زمانی هماهنگی موردنیاز برای جلوگیری از تداخل عملکرد رله‌های اصلی و پشتیبان است. (J)تابع هدف در مسئله هماهنگی رله‌های اضافه جریان است. معمولاً در بسیاری از مراجع این تابع، مجموع زمان عملکرد رله‌های اصلی به ازای خطا در جلوی آن رله‌ها در نظر گرفته شده است.

معادله مشخصه رله اضافه جریان، زمان عملکرد رله را به صورت تابعی از تنظیم جریان و ضریب تنظیم زمانی رله نمایش می‌دهد. معادلات متفاوتی برای مدل‌سازی منحنی مشخصه رله اضافه جریان پیشنهاد گردیده تا علاوه بر ساده بودن، نسبت به منحنی مشخصه واقعی رله خطای کمتری داشته باشد. در این مقاله مشخصه استاندارد IEC مطابق رابطه (۲) برای نمایش مشخصه رله‌های اضافه جریان استفاده گردیده است.

$$t_i = TDS_i \times f(M_i) \quad (2)$$

$$f(M_i) = \frac{k_1}{M_i^{k_1} - 1} \quad M_i = \frac{I_i}{I_{p_i}}$$

در این رابطه  $TDS_i$  و  $I_{p_i}$  به ترتیب ضریب تنظیم زمانی و تنظیم جریان رله  $i$ ،  $I_i$  جریان خطای عبوری از این رله و  $M_i$  نسبت جریان اتصال کوتاه عبوری از رله  $i$  به جریان تنظیم آن رله است. ضرایب  $k_1$  و  $k_2$  نوع مشخصه رله اضافه جریان (کاهشی، بسیار کاهشی و شدیداً کاهشی) را نمایش می‌دهد.

تنظیم جریان رله‌های اضافه جریان براساس حداکثر جریان بار ( $I_{load}^{\max}$ ) و حداقل جریان خطا ( $I_{fault}^{\min}$ ) صورت می‌گیرد به نحوی که رله مطابق رابطه (۳) به ازای حداکثر جریان بار عملکرد نداشته و به ازای حداقل جریان خطا عملکرد داشته باشد.

$$I_{load}^{\max} \leq I_p \leq I_{fault}^{\min} \quad (3)$$

ممول تنظیم جریان رله‌ها  $1/2$  تا  $1/3$  برابر  $I_{load}^{\max}$  انتخاب می‌گردد [۱].

#### ۳- اثر منابع تولید پراکنده بر قیود هماهنگی

کاربرد منابع تولید پراکنده به دلیل مزایای اقتصادی و زیستمحیطی، در شبکه توزیع و فوق توزیع در حال گسترش است. در برخی از منابع تولید پراکنده همچون نیروگاه‌های گازی کوچک یا برخی نیروگاه‌های بادی از ژنراتورهای سنکرون استفاده می‌گردد. راکتانس گذرای این ژنراتورها باعث می‌گردد در شرایط وقوع خطا علاوه بر جریان خطایی که از سمت شبکه تزریق می‌گردد، جریان خطایی نیز از محل ژنراتور سنکرون به محل خطای تزریق می‌گردد. اما با توجه به مکان رله‌های اصلی

تأثیرگذار بوده و میزان تأثیرگذاری نصب DG بر قید هماهنگی را می‌توان با تفاضل  $\Delta F(I_B) - \Delta F(I_p)$  نشان داد. لذا شاخص پیشنهادی می‌تواند به صورت تفاضل  $\Delta F(I_B) - \Delta F(I_p)$  تعریف گردد. بدینه است هر چه این تفاضل بزرگ‌تر باشد، فاصله زمانی هماهنگی پس از نصب DG کوچک‌تر شده و احتمال عدم هماهنگی افزایش خواهد یافت.

حالات ج-  
 $\Delta F(I_B) > \Delta F(I_p) > 0$   
 $\Delta F(I_B) < \Delta F(I_p)$  یا  
 $\Delta F(I_B) < 0$

در این حالت  $\Delta t_m$  و  $\Delta t'_m$  رابطه واضحی نسبت به همدیگر ندارند. به عبارت دیگر ممکن است  $\Delta t_m < \Delta t'_m$  یا  $\Delta t'_m > \Delta t_m$  باشد. البته لازم به ذکر است با توجه به اینکه به ازای خطای در جلوی رله اصلی، جریان خطای عبوری از رله اصلی بزرگ‌تر یا مساوی جریان خطای عبوری از رله پشتیبان است، در نتایج عددی نشان داده شده است که در شبکه‌های نمونه این حالت هیچگاه رخ نداده است.

بنابراین با توجه به توضیحاتی که در مورد میزان تأثیرگذاری نصب DG بر قید هماهنگی، در بالا ارائه گردید، شاخص رابطه (۱۲) به منظور تعیین میزان حساسیت قید هماهنگی  $m$  به نصب DG در شین  $k$  پیشنهاد گردیده است.

$$\left\{ \begin{array}{l} PI_m^{(k)} = \Delta F(I_B) - \Delta F(I_p) \\ \quad \text{if } \Delta F(I_B) \geq \Delta F(I_p), \Delta F(I_B) > 0 \\ PI_m^{(k)} = 0 \\ \quad \text{if } \Delta F(I_B) \leq \Delta F(I_p), \Delta F(I_B) < 0 \end{array} \right\} \quad (12)$$

به عبارت دیگر، شاخص  $PI_m^{(k)}$  میزان تأثیر نصب DG در شین  $k$  بر قید هماهنگی  $m$  را نشان می‌دهد. مزیت عمده این شاخص این است که به تنظیم زمان رله‌ها وابسته نیست و بدون حل مسئله هماهنگی می‌توان میزان حساسیت یک قید هماهنگی به نصب DG را تعیین نمود. در بخش نتایج عددی نشان داده شده که اندازه شاخص پیشنهادی به درستی متناسب با اندازه تفاضل  $\Delta t'_m - \Delta t_m$  است.

##### ۵- اثر منابع تولید پراکنده بر کل مسئله هماهنگی

در بخش قبل شاخص  $PI_m^{(k)}$  به منظور تعیین میزان تأثیر نصب DG در شین  $k$  بر  $m$  این قید هماهنگی ارائه گردید. میزان تأثیر نصب DG در شین  $k$  بر کل قیود مسئله هماهنگی مطابق رابطه (۱۳) تعریف گردیده است.

$$PI^{(k)} = \sum_{m=1}^{n_{BP}} PI_m^{(k)} \quad (13)$$

در این رابطه شاخص  $PI^{(k)}$  میزان تأثیر نصب DG در شین  $k$  بر کل قیود مسئله هماهنگی را نشان می‌دهد. برای محاسبه این شاخص الگوریتم شکل ۱ پیشنهاد گردیده است.

ارائه گردیده است. شاخص پیشنهادی اثر نصب DG بر قید هماهنگی را به صورت یک ضریب عددی نشان می‌دهد.

برای این منظور تفاضل فاصله زمانی هماهنگی زوج رله اصلی پشتیبان (i) برای دو حالت با DG ( $\Delta t'_m$ ) و بدون DG ( $\Delta t_m$ ) مطابق رابطه (۶) تعریف و ساده‌سازی گردیده است.

$$\begin{aligned} \Delta t'_m - \Delta t_m &= t'_j - t'_i - (t_j - t_i) = t'_j \left( \frac{t'_j}{t_j} - 1 \right) - t'_i \left( \frac{t'_i}{t_j} - 1 \right) \\ &= t'_j \left( \frac{TDS_j f(M'_j)}{TDS_j f(M_j)} - 1 \right) - t'_i \left( \frac{TDS_i f(M'_i)}{TDS_i f(M_i)} - 1 \right) \\ &= t'_j \left( \frac{f(M'_j) - f(M_j)}{f(M_j)} \right) - t'_i \left( \frac{f(M'_i) - f(M_i)}{f(M_i)} \right) \end{aligned} \quad (6)$$

توابع  $\Delta F(I_B)$  و  $\Delta F(I_p)$  مستقل از ضریب تنظیم زمان رله‌ها به صورت رابطه (۷) تعریف گردیده است.

$$\begin{aligned} \Delta F(I_B) &\equiv \frac{f(M_j) - f(M'_j)}{f(M_j)} \\ \Delta F(I_p) &\equiv \frac{f(M_i) - f(M'_i)}{f(M_i)} \end{aligned} \quad (7)$$

لذا رابطه (۶) به صورت رابطه زیر قابل بازنویسی است:

$$\Delta t'_m - \Delta t_m = -t_j \Delta F(I_B) + t_i \Delta F(I_p) \quad (8)$$

در ادامه فرض گردیده، در حالت عدم حضور DG هماهنگی کامل در شبکه برقرار است. لذا داریم:

$$\Delta t_m = t_j - t_i \geq CTI \Rightarrow t_j \geq t_i \quad (9)$$

در این شرایط سه حالت برای رابطه (۸) قابل تصور است:

$$\begin{aligned} \text{حالت الف-} 0 \leq \Delta F(I_B) \text{ و } \Delta F(I_p) \text{ در این حالت داریم:} \\ \left\{ \begin{array}{l} -\Delta F(I_g) \geq -\Delta F(I_p) \\ -\Delta F(I_g) \geq 0 \\ t_j > t_i \end{array} \right\} \Rightarrow -t_j \Delta F(I_g) \geq -t_i \Delta F(I_p) \quad (10) \\ \Rightarrow \Delta t'_m - \Delta t_m \geq 0 \Rightarrow \Delta t'_m \geq \Delta t_m \geq CTI \end{aligned}$$

بنابراین نصب DG در این حالت باعث افزایش فاصله زمانی هماهنگی نسبت به حالت بدون DG است. لذا عدم هماهنگی رخداده و نصب DG هیچ تأثیری بر قید هماهنگی نداشته است. بنابراین میزان تأثیر DG بر این قید هماهنگی صفر بوده و شاخص پیشنهادی را در این حالت می‌توان صفر در نظر گرفت.

حالت ب-  $0 > \Delta F(I_B) \geq \Delta F(I_p)$  در این حالت داریم:

$$\left\{ \begin{array}{l} \Delta F(I_B) \geq \Delta F(I_p) \\ \Delta F(I_B) > 0 \\ t_j > t_i \end{array} \right\} \Rightarrow t_j \Delta F(I_B) \geq t_i \Delta F(I_p) \quad (11)$$

$$\Rightarrow \Delta t'_m - \Delta t_m \leq 0 \Rightarrow \Delta t'_m \leq \Delta t_m$$

در این حالت فاصله زمانی هماهنگی بین رله‌های اصلی و پشتیبان کاهش یافته و احتمال نقض قید در این شرایط وجود دارد. هرچقدر تفاضل  $\Delta F(I_B) - \Delta F(I_p)$  بزرگ‌تر باشد، احتمال ایجاد عدم هماهنگی نیز افزایش می‌یابد. بنابراین در این حالت نصب DG بر قید هماهنگی

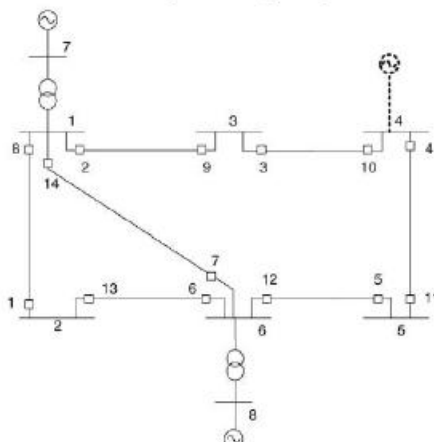
این شین‌های شبکه به کمک این شاخص بر اساس میزان تأثیرگذاری بر مسئله هماهنگی رله‌های اضافه جریان اولویت‌بندی گردیده است. همچنین با تغییر ظرفیت DG می‌توان مجددًا شاخص رابطه (۱۳) را برای هر شین محاسبه نمود تا اثر تغییر ظرفیت DG نیز بر مسئله هماهنگی رله‌های اضافه جریان برای هر شین محاسبه گردد. علاوه بر این، زوج رله‌های اصلی/پشتیبان که تأثیرگذاری بیشتری از نصب DG در شین‌های مختلف شبکه را دارند به کمک شاخص پیشنهادی قابل محاسبه است. برای این منظور شاخص رابطه (۱۴) تعریف گردیده است.

$$PI_m = \sum_{k=1}^{n_{Bus}} PI_m^{(k)} \quad (14)$$

در این رابطه  $n_{Bus}$  تعداد شین‌های شبکه و شاخص  $PI_m$  میزان تأثیر نصب DG در شبکه بر  $m$ امین قید هماهنگی رانشان می‌دهد. این شاخص می‌تواند نقاط حساس شبکه از دیدگاه حفاظت اضافه جریان در صورت نصب DG را مشخص کند تا در صورت امکان در آن نقاط حفاظت‌های تکمیلی استفاده گردد.

#### ۶- نتایج عددی

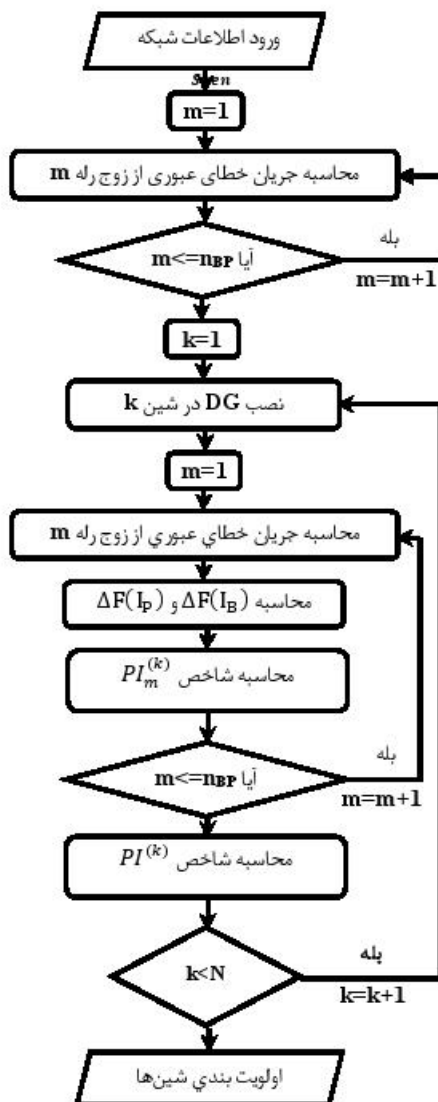
در این مقاله شبکه نمونه ۸ شینه به کمک شاخص‌های پیشنهادی مورد تجزیه و تحلیل قرار گرفته است. دیاگرام تک خطی شبکه به همراه مکان و شماره رله‌های اضافه جریان در شکل ۲ آورده شده است.



شکل ۲: دیاگرام تک خطی شبکه ۸ شینه

اطلاعات این شبکه شامل امپدانس خطوط، بار شین‌ها و تولید ژنراتورها در [۱۴] آورده شده است. تمامی رله‌های اضافه جریان از نوع معکوس معمولی با مشخصه IEC در نظر گرفته شده و CTI برابر ۰/۳ ثانیه انتخاب گردیده است.

در این مقاله یک منبع تولید پراکنده از نوع ژنراتور سنتکرون با ظرفیت ۵ مگاوات و ۱۲ کیلوولت در نظر گرفته شده که توسط یک ترانسفورماتور به شبکه متصل می‌گردد. راکتانس گذراي ۰/۲ پریونیت در مبنای ظرفیت آن برای مجموع ترانسفورماتور و منبع تولید پراکنده در نظر گرفته شده است.



شکل ۱: الگوریتم محاسبه شاخص پیشنهادی

مطابق این الگوریتم ابتدا در حالت بدون DG محاسبات اتصال کوتاه انجام شده و جریان‌های خطی عبوری از رله‌های اضافه جریان برای هر زوج رله محاسبه گردیده است. سپس شین شماره  $k$  در شین شماره DG نصب شده و مجددًا محاسبات اتصال کوتاه انجام شده و جریان خطی عبوری از زوج رله‌های اصلی/پشتیبان محاسبه گردیده است. با معلوم بودن جریان خطی عبوری از رله‌ها در حالت بدون DG و حالت با

حضور DG، مقادیر  $\Delta F(I_p)$  و  $\Delta F(I_B)$  و نهایتاً شاخص  $PI_m^{(k)}$  مطابق (۱۲) برای هر زوج رله محاسبه گردیده است. این فرآیند برای تمامی زوج رله‌ها تکرار گردیده تا شاخص  $PI^{(k)}$  مطابق رابطه (۱۳) به ازای نصب DG در شین  $k$  به دست آید. این مراحل برای تمامی شین‌های شبکه محاسبه تکرار گردیده و شاخص پیشنهادی برای تمامی شین‌های شبکه محاسبه گردیده است.

هرچه این شاخص برای یک شین بزرگ‌تر باشد، نصب DG در آن شین تأثیر بیشتری بر مسئله هماهنگی خواهد داشت. لذا درنهایت از

نصب DG تأثیر داشته است) که البته برخی از این قیود نقض نیز گردیده اند. همچنین در ستون آخر جدول ۲ نفاضل  $\Delta t - \Delta t'$  آورده شده است. مشاهده می گردد برای تمامی قیود به جز قیود ۵، ۱۶ و ۱۹ فاصله زمانی هماهنگی کاهش یافته است.

جدول ۲: فاصله زمانی بین زمان عملکرد رله اصلی و پشتیبان در حالت بدون  $DG$  و حالت با حضور  $DG$  در شین ۵

شماره قید	شماره رله پشتیبان	شماره رله اصلی	$\Delta t$	$\Delta t'$	$\Delta t - \Delta t'$
۱	۱	۲	-۰/۳۰۰	-۰/۲۸۹۸	-۰/۰۱۰
۲	۱	۱۴	-۰/۴۰۰	-۰/۳۸۹۲	-۰/۰۱۱
۳	۲	۳	-۰/۳۰۰	-۰/۲۹۸۴	-۰/۰۰۱۶
۴	۳	۴	-۰/۳۰۰	-۰/۲۹۸۰	-۰/۰۰۲۰
۵	۴	۵	-۰/۳۰۰	-۰/۳۱۳۷	-۰/۰۱۳۷
۶	۵	۶	-۰/۳۹۶۸	-۰/۳۵۲۹	-۰/۰۴۳۹
۷	۵	۷	-۰/۳۰۰	-۰/۲۵۵۹	-۰/۰۴۴۱
۸	۶	۱	-۰/۳۰۰	-۰/۲۹۶۳	-۰/۰۰۳۷
۹	۷	۲	-۰/۳۰۰	-۰/۲۹۳۷	-۰/۰۰۶۳
۱۰	۷	۸	-۰/۵۷۵۱	-۰/۵۸۹۵	-۰/۰۰۵۶
۱۱	۸	۱۳	-۰/۳۰۰	-۰/۲۹۷۹	-۰/۰۰۲۱
۱۲	۹	۸	-۰/۴۷۴۸	-۰/۴۵۸۶	-۰/۰۱۶۲
۱۳	۹	۱۴	-۰/۳۰۰	-۰/۲۸۳۵	-۰/۰۱۶۵
۱۴	۱۰	۹	-۰/۳۰۰	-۰/۲۹۴۵	-۰/۰۰۵۵
۱۵	۱۱	۱۰	-۰/۳۰۰	-۰/۲۸۶۹	-۰/۰۱۳۱
۱۶	۱۲	۱۱	-۰/۳۰۰	-۰/۳۱۰۸	-۰/۰۱۰۸
۱۷	۱۳	۷	-۰/۳۸۱۶	-۰/۳۸۰۵	-۰/۰۰۱۱
۱۸	۱۳	۱۲	-۰/۳۰۰	-۰/۲۹۴۱	-۰/۰۰۵۹
۱۹	۱۴	۶	-۰/۴۷۸۴	-۰/۴۷۹۸	-۰/۰۰۰۸
۲۰	۱۴	۱۲	-۰/۳۰۰	-۰/۲۹۷۹	-۰/۰۰۲۱

مرحله ۴: در این مرحله  $P_{\text{m}}^{(k)}$   $\Delta F(I_B) - \Delta F(I_p)$  و  $\Delta F(I_B) - \Delta F(I_p)$  مستقل از تنظیمات زمان رله های اضافه جریان موجود در جدول ۱، برای تک به تک قیود در صورت نصب DG در شین ۵ محاسبه گردیده و در جدول ۳ آورده شده است. در ستون های انتهایی این جدول برای هر یک از قیود، به کمک علامت  $\Delta F(I_B) - \Delta F(I_p)$  و علامت  $\Delta F(I_B) - \Delta F(I_p)$  حالت های الف، ب و ج که در بخش ۳ اشاره شد، تعیین گردیده است.

مرحله ۵: در این مرحله به منظور بررسی صحت شاخص پیشنهادی، نتایج جداول ۲ و ۳، با یکدیگر مقایسه گردیده است:

۱- حالت ج  $(0 > \Delta F(I_p) - \Delta F(I_B))$  و  $\Delta F(I_B) < 0$   $\Delta F(I_B) < \Delta F(I_p)$  که در بخش ۳ توضیح داده شد، با نصب DG در شین ۵ رخ نداده است. بررسی نتایج نصب DG در سایر شین ها نیز نشان داد که حالت ج هیچگاه رخ نمی دهد.

۲- قیود شماره ۵، ۱۶ و ۱۹ که شاخص  $P_{\text{m}}^{(k)}$  برای این قیود مطابق جدول ۳ صفر است (حالت الف)، مطابق جدول ۲،  $\Delta t$  نیز برای این قیود بزرگ تر از  $\Delta t$  بوده است. یعنی نصب DG در شین ۵ باعث افزایش فاصله زمانی هماهنگی گردیده و لذا بر قید هماهنگی تأثیر ندارد. بنابراین به

تنظیمات جریان این شبکه با توجه به حداقل جریان بار و حداقل جریان خطا و تنظیم موجود بر روی رله در جدول ۱ آورده شده است [۱۴].

#### ۱-۶ ارزیابی شاخص پیشنهادی

در ابتدا حالت های ۱، ۲ و ۳ در بخش ۴ برای این شبکه نمونه مورد ارزیابی قرار گرفته تا صحت شاخص پیشنهادی از دیدگاه میزان تأثیر نصب DG بر قیود هماهنگی نشان داده شود. برای رسیدن به این منظور مراحل زیر دنبال گردیده است:

مرحله ۱: مسئله هماهنگی رله های اضافه جریان در حالت عدم حضور DG حل گردیده است. برای این منظور با معلوم بودن تنظیمات جریان رله های مسئله هماهنگی رابطه (۱) به یک مسئله برنامه ریزی خطی تبدیل گردیده [۱۴] و به کمک نرم افزار مطلب حل شده است. در این مقاله تنها خطای جلوی رله در نظر گرفته شده است. ضرایب تنظیم زمان بهینه رله ها در ستون سوم جدول ۱ آورده شده است.

جدول ۱: تنظیمات بهینه رله های اضافه جریان در حالت عدم حضور DG

ضریب تنظیم زمان (TMS)	شماره رله	تنظیم جریان (A)
۰/۴۷۶۶	۲۴۰	۱
۰/۵۷۵۱	۶۰۰	۲
۰/۵۱۶۲	۴۰۰	۳
۰/۳۸۸۷	۶۰۰	۴
۰/۳۶۸۵	۴۶۰	۵
۰/۴۵۲۲	۶۰۰	۶
۰/۷۰۰۳	۲۴۰	۷
۰/۳۹۱۶	۶۰۰	۸
۰/۳۹۳۶	۳۲۰	۹
۰/۳۹۴۷	۶۰۰	۱۰
۰/۴۰۵۲	۶۰۰	۱۱
۰/۵۶۷۱	۶۰۰	۱۲
۰/۳۳۲۱	۴۶۰	۱۳
۰/۶۹۱۱	۲۴۰	۱۴

مرحله ۲: با توجه به تنظیمات اشاره شده در جدول ۱،  $\Delta t$  برای تک به تک قیود در حالت بدون DG محاسبه گردیده و در جدول ۲ آورده شده است.

مرحله ۳: با نصب DG با ظرفیت نامی در شین ۵، جریان های خطا محاسبه گردیده و به کمک این جریان های خطا و تنظیمات زمان موجود در جدول ۱، (تنظیمات به دست آمده از حل مسئله هماهنگی در حالت بدون DG)  $\Delta t$  محاسبه گردیده و در ستون پنجم جدول ۲ آورده شده است. در این ستون قیودی که با اضافه شدن DG مقدار  $\Delta t$  برای آن قیود کاهش یافته است، به صورت زیرخط و پررنگ نشان داده شده است. مشاهده می گردد با نصب DG در شین ۵، اندازه  $\Delta t$  برای قیود ۵، ۱۶ و ۱۹ افزایش یافته (به عبارت دیگر نصب DG بر این قیود تأثیر نداشته است، اما اندازه  $\Delta t$  برای سایر قیود کاهش یافته است (یعنی

مشاهده می‌گردد قیود بر اساس تفاصل  $\Delta t - \Delta t'$  نیز به صورت نزولی  $PI_m^{(k)}$  مستقل از تنظیمات رله‌ها قیدی که برای نصب  $DG$  تأثیر نمی‌پذیرند، تشخیص داده شده است.

- $3$ - برای سایر قیود (به جز قیود شماره  $5$  و  $16$ ) شاخص  $PI_m^{(k)}$  مطابق جدول  $3$  بزرگ‌تر از صفر است (حالت ب). مطابق جدول  $2$  نیز برای این قیود  $\Delta t$  کوچک‌تر از  $\Delta t'$  بوده است. یعنی نصب  $DG$  در شین  $5$  باعث کاهش فاصله زمانی هماهنگی گردیده است. البته کاهش فاصله زمانی برای برخی قیود باعث ایجاد عدم هماهنگی نیز گردیده است. بنابراین به کمک شاخص  $PI_m^{(k)}$  مستقل از تنظیمات رله‌ها قیدی که برای نصب  $DG$  تأثیر نمی‌پذیرند، تشخیص داده شده است.

جدول ۴: رتبه‌بندی قیود بر اساس شاخص  $PI_m^{(k)}$  در صورت نصب  $DG$  درشین  $5$ 

شماره قید	شماره $PI_m^{(k)}$	$\Delta t - \Delta t'$
۷	.۰۰۴۰۶	.۰۰۴۴۱
۶	.۰۰۳۹۷	.۰۰۴۳۹
۱۳	.۰۰۱۴۹	.۰۰۱۶۵
۱۲	.۰۰۱۳۵	.۰۰۱۶۲
۱۵	.۰۰۱۰۵	.۰۰۱۳۱
۲	.۰۰۰۸۸	.۰۰۱۱۱
۱	.۰۰۰۸۱	.۰۰۱۰۲
۹	.۰۰۰۴۶	.۰۰۰۶۳
۱۸	.۰۰۰۴۲	.۰۰۰۵۹
۱۰	.۰۰۰۳۹	.۰۰۰۵۶
۱۴	.۰۰۰۳۳	.۰۰۰۵۵
۸	.۰۰۰۲۴	.۰۰۰۳۷
۴	.۰۰۰۱۵	.۰۰۰۲۰
۲۰	.۰۰۰۱۵	.۰۰۰۲۱
۱۱	.۰۰۰۱۲	.۰۰۰۲۱
۳	.۰۰۰۰۷	.۰۰۰۱۶
۱۷	.۰۰۰۰۶	.۰۰۰۱۱
۵	.	.۰۰۰۱۳۷
۱۶	.	.۰۰۰۱۰۸
۱۹	.	.۰۰۰۰۸

۲-۶- اثر مکان نصب  $DG$ 

نتایج بخش قبل نشان داد شاخص  $PI_m^{(k)}$  به خوبی میزان حساسیت قید در مقابل نصب  $DG$  را نمایش می‌دهد. نصب  $DG$  در سایر شین‌های شبکه  $8$  شینه نیز بررسی گردیده و نتایج مشابهی حاصل گردیده است. در این بخش اثر مکان‌های مختلف نصب  $DG$  بر قیود مسئله هماهنگی بررسی گردیده است. برای این منظور در جدول  $5$  شاخص  $PI_m^{(k)}$  به ازای نصب  $DG$  در تک‌به‌تک شین‌ها برای قیود مسئله هماهنگی آورده شده است.

کمک شاخص  $PI_m^{(k)}$  مستقل از تنظیمات رله‌ها قیدی که برای نصب  $DG$  تأثیر نمی‌پذیرند، تشخیص داده شده است.

- $3$ - برای سایر قیود (به جز قیود شماره  $5$  و  $16$ ) شاخص  $PI_m^{(k)}$  مطابق جدول  $3$  بزرگ‌تر از صفر است (حالت ب). مطابق جدول  $2$  نیز برای این قیود  $\Delta t$  کوچک‌تر از  $\Delta t'$  بوده است. یعنی نصب  $DG$  در شین  $5$  باعث کاهش فاصله زمانی هماهنگی گردیده است. البته کاهش فاصله زمانی برای برخی قیود باعث ایجاد عدم هماهنگی نیز گردیده است. بنابراین به کمک شاخص  $PI_m^{(k)}$  مستقل از تنظیمات رله‌ها قیدی که برای نصب  $DG$  تأثیر نمی‌پذیرند، تشخیص داده شده است.

جدول ۳: حالات‌های ایجاد شده برای نصب  $DG$  در شین  $5$  به همراه شاخص  $PI_m^{(k)}$ 

حالات ج	حالات ب	حالات الف	شماره $PI_m^{(k)}$	شماره رله پشتیبان اصلی	شماره رله	$\Delta F(IB)$	$\Delta F(IB) - \Delta F(IP)$
		بله	.۰۰۸۱	۲	۱	.۰۰۱۱۷	.۰۰۰۸۱
		بله	.۰۰۸۸	۱۴	۱	.۰۰۱۱۷	.۰۰۰۸۸
		بله	.۰۰۰۷	۳	۲	.۰۰۰۳۹	.۰۰۰۰۷
		بله	.۰۰۰۱۵	۴	۳	.۰۰۰۳۳	.۰۰۰۱۵
		بله	.۰۰۰۲۱	۵	۴	.۰۰۰۰۰	.۰۰۰۲۱
		بله	.۰۰۰۳۷	۶	۵	.۰۰۰۴۵۵	.۰۰۰۳۹۷
		بله	.۰۰۰۴۰۶	۷	۵	.۰۰۰۴۵۵	.۰۰۰۴۰۶
		بله	.۰۰۰۳۶	۸	۱	.۰۰۰۷۰	.۰۰۰۲۴
		بله	.۰۰۰۴۶	۹	۲	.۰۰۰۸۲	.۰۰۰۴۶
		بله	.۰۰۰۳۹	۱۰	۸	.۰۰۰۸۲	.۰۰۰۳۹
		بله	.۰۰۰۱۲	۱۱	۱۳	.۰۰۰۵۱	.۰۰۰۱۲
		بله	.۰۰۰۱۳۵	۱۲	۹	.۰۰۱۷۷	.۰۰۰۱۳۵
		بله	.۰۰۰۱۴۹	۱۳	۱۴	.۰۰۱۷۷	.۰۰۰۱۴۹
		بله	.۰۰۰۳۴	۱۴	۹	.۰۰۱۱۲	.۰۰۰۳۴
		بله	.۰۰۰۱۰۵	۱۵	۱۱	.۰۰۰۱۹۱	.۰۰۰۱۰۵
		بله	.۰۰۰۱۴	۱۶	۱۲	.۰۰۰۰۰	.۰۰۰۱۴
		بله	.۰۰۰۰۶	۱۷	۷	.۰۰۰۵۴	.۰۰۰۰۶
		بله	.۰۰۰۰۴۲	۱۸	۱۲	.۰۰۰۵۴	.۰۰۰۰۴۲
		بله	.۰۰۰۰۳	۱۹	۶	.۰۰۰۰۳	.۰۰۰۰۳
		بله	.۰۰۰۱۵	۲۰	۱۴	.۰۰۰۲۷	.۰۰۰۱۵

- $4$ - اندازه شاخص  $PI_m^{(k)}$  میزان تأثیر نصب  $DG$  بر قید هماهنگی را نشان می‌دهد. برای یک قید هماهنگی هر چه شاخص  $PI_m^{(k)}$  بزرگ‌تر باشد به همان نسبت تفاصل  $\Delta t - \Delta t'$  نیز بیشتر خواهد بود یعنی فاصله زمانی هماهنگی کاهش بیشتر داشته و یا به تعبری نصب  $DG$  بر آن قید تأثیر بیشتری داشته است. برای نشان دادن این موضوع در جدول  $4$  قیود هماهنگی بر اساس شاخص  $PI_m^{(k)}$  به صورت نزولی مرتب گردیده‌اند. همچنین در این جدول تفاصل  $\Delta t - \Delta t'$  نیز برای هر قید آورده شده است.

جدول ۶: رتبه‌بندی شین‌ها بر اساس شاخص  $PI_m^{(k)}$ 

شماره شین	$PI_m^{(k)}$
۲	۰/۱۹۰۱
۳	۰/۱۶۰۱
۵	۰/۱۶۰۰
۴	۰/۱۴۲۲
۱	۰/۰۷۵۶
۶	۰/۰۶۲۴

مطابق جدول ۶ شین ۲ بدترین مکان برای نصب DG از دیدگاه هماهنگی رله‌های اضافه جریان است. همچنین اگر DG در شین ۶ نصب گردد کمترین تأثیر را بر مسئله هماهنگی رله‌های اضافه جریان خواهد داشت. با توجه به اندازه شاخص  $PI_m^{(k)}$  در جدول ۶، نصب DG در شین‌های ۳ و ۵ تأثیر تقریباً یکسانی بر مسئله هماهنگی داشته است. در دیاگرام تک خطی شبکه نیز مشخص است که وضعیت شین ۳ و ۵ مشابه یکدیگر است. علاوه بر این شین‌های ۱ و ۶ نیز به عنوان مکان نصب DG تأثیر مشابهی بر هماهنگی رله‌های اضافه جریان دارند.

#### ۶-۳-اثر ظرفیت‌های مختلف DG

در این بخش سه منبع تولید پراکنده با ظرفیت‌های ۲/۵، ۵ و ۱۰ مگاوات با همان امپدانس گذرای پریویت ۰/۲ در مبنای ظرفیت خودشان در نظر گرفته شده است. هر یک از این منابع در شین‌های مختلف شبکه نصب گردیده و شاخص  $PI_m^{(k)}$  برای هر یک از قیود هماهنگی محاسبه گردیده است. همچنین شاخص  $PI_m^{(k)}$  به ازای نصب DG در هر شین شبکه برای هر سه ظرفیت محاسبه گردیده و در جدول ۷ آورده شده است.

با توجه به نتایج جدول ۷، با افزایش ظرفیت DG شاخص  $PI_m^{(k)}$  افزایش یافته یعنی DG بزرگ‌تر تأثیر بیشتری بر هماهنگی رله‌های اضافه جریان داشته و می‌تواند باعث ایجاد عدم هماهنگی‌های بیشتری گردد. همچنین با افزایش ظرفیت DG اولویت‌بندی شین‌ها برای نصب منبع تولید پراکنده تعییری نکرده است به نحوی که به ازای تمام ظرفیت‌های شین ۲ بدترین مکان و شین ۶ بهترین مکان نصب DG است.

جدول ۷: شاخص  $PI_m^{(k)}$  به ازای نصب DG با ظرفیت‌های متفاوت در شین‌های شبکه

شماره شین	$H^{(k)}$		
	۲/۵ مگاوات	۵ مگاوات	۱۰ مگاوات
۱	۰/۰۳۸۴	۰/۰۷۵۶	۰/۱۴۶۵
۲	۰/۰۹۸۹	۰/۱۹۰۱	۰/۳۵۳۳
۳	۰/۰۸۲۳	۰/۱۶۰۱	۰/۳۰۳۶
۴	۰/۰۷۳۳	۰/۱۴۲۲	۰/۲۷۳۳
۵	۰/۰۸۲۴	۰/۱۶۰۰	۰/۳۰۲۸
۶	۰/۰۳۱۶	۰/۰۶۲۴	۰/۱۲۱۲

جدول ۵: شاخص  $PI_m^{(k)}$  به ازای نصب DG در تک‌به‌تک شین‌ها

شماره شین	DG شین نصب						$PI_m$
	۱	۲	۳	۴	۵	۶	
۱	۰/۰۰۰۰	۰/۰۳۱۷	۰/۰۰۸۹	۰/۰۰۵۴	۰/۰۰۸۱	۰/۰۱۱۰	۰/۰۵۸۸
۲	۰/۰۰۰۰	۰/۰۳۲۷	۰/۰۰۰۰	۰/۰۰۴۰	۰/۰۰۸۸	۰/۰۱۳۸	۰/۰۶۰۳
۳	۰/۰۰۱۶	۰/۰۰۱۲	۰/۰۰۰۰	۰/۰۰۰۰	۰/۰۰۰۰	۰/۰۰۱۰	۰/۰۰۴۵
۴	۰/۰۰۲۷	۰/۰۰۳۱	۰/۰۰۷۱	۰/۰۰۰۰	۰/۰۰۱۵	۰/۰۰۰۰	۰/۰۱۷۸
۵	۰/۰۰۱۶	۰/۰۰۱۲	۰/۰۰۳۲	۰/۰۰۴۷	۰/۰۰۰۰	۰/۰۰۰۹	۰/۰۱۱۶
۶	۰/۰۰۳۶	۰/۰۰۱۸	۰/۰۱۵۴	۰/۰۰۲۵	۰/۰۰۳۷	۰/۰۰۰۰	۰/۰۰۸۱
۷	۰/۰۰۵۴	۰/۰۰۰۰	۰/۰۱۶۸	۰/۰۰۶۶	۰/۰۰۴۶	۰/۰۰۰۰	۰/۰۰۸۹
۸	۰/۰۰۱۵	۰/۰۰۰۰	۰/۰۰۱۷	۰/۰۰۱۹	۰/۰۰۲۶	۰/۰۰۲۹	۰/۰۱۰۳
۹	۰/۰۰۰۰	۰/۰۰۰۲	۰/۰۰۱۷	۰/۰۰۲۹	۰/۰۰۴۶	۰/۰۰۶۲	۰/۰۱۰۵
۱۰	۰/۰۰۰۰	۰/۰۰۴۱	۰/۰۰۰۰	۰/۰۰۰۷	۰/۰۰۳۹	۰/۰۰۰۷	۰/۰۱۶۰
۱۱	۰/۰۰۲۱	۰/۰۰۰۰	۰/۰۰۱۷	۰/۰۰۱۳	۰/۰۰۱۲	۰/۰۰۰۰	۰/۰۰۷۳
۱۲	۰/۰۰۰۰	۰/۰۰۱۸	۰/۰۰۳۵	۰/۰۰۳۱	۰/۰۱۳۵	۰/۰۰۰۳	۰/۰۰۷۸
۱۳	۰/۰۰۲۱	۰/۰۰۰۰	۰/۰۰۱۷	۰/۰۰۱۳	۰/۰۰۱۲	۰/۰۰۰۰	۰/۰۰۷۳
۱۴	۰/۰۰۰۰	۰/۰۰۱۸	۰/۰۰۰۰	۰/۰۰۰۰	۰/۰۰۳۳	۰/۰۰۱۸	۰/۰۱۲۷
۱۵	۰/۰۰۴۰	۰/۰۰۴۹	۰/۰۰۴۲	۰/۰۰۰۰	۰/۰۱۰۵	۰/۰۰۰۰	۰/۰۲۷۴
۱۶	۰/۰۰۰۰	۰/۰۰۰۰	۰/۰۰۰۰	۰/۰۰۰۰	۰/۰۰۰۰	۰/۰۰۰۰	۰/۰۰۰۰
۱۷	۰/۰۰۲۰۲	۰/۰۰۵۱۵	۰/۰۰۱۳۰	۰/۰۰۶۵	۰/۰۰۰۰	۰/۰۰۰۰	۰/۰۰۹۱۹
۱۸	۰/۰۰۱۷۸	۰/۰۰۴۹۶	۰/۰۱۲۸	۰/۰۰۷۸	۰/۰۰۴۲	۰/۰۰۰۰	۰/۰۰۹۱۴
۱۹	۰/۰۰۰۷۶	۰/۰۰۰۳۸	۰/۰۰۰۳۷	۰/۰۰۰۴	۰/۰۰۰۰	۰/۰۰۰۰	۰/۰۱۵۴
۲۰	۰/۰۰۰۶۳	۰/۰۰۰۰	۰/۰۰۰۴۵	۰/۰۰۰۲۸	۰/۰۰۰۱۵	۰/۰۰۰۰	۰/۰۱۵۲
	۰/۰۷۵۶	۰/۱۹۰۱	۰/۱۶۰۱	۰/۱۴۳۲	۰/۱۶۰۰	۰/۰۶۲۴	
	$PI_m^{(k)}$						

در سیزدهمین جدول شاخص  $PI_m$  برای هر قید به ازای نصب DG در تمامی شین‌های شبکه آورده شده است. بر اساس این نتایج قید ۱۷، که رله ۱۳ پشتیبان رله ۷ است، به ازای نصب DG در اکثر شین‌ها فعال گردیده و بیشترین تأثیر را از نصب DG متحمل می‌گردد. قیود ۶ و ۷ نیز وضعیت مشابهی دارند. با نگاهی به شبکه مشاهده می‌گردد، این زوج رله‌ها پشتیبان رله‌های ۶، ۷ و ۱۲ بوده که همگی روی شین ۶ نصب گردیده‌اند. بنابراین رله‌های خطوط متصل به شین ۶ بیشترین تأثیر را از نصب DG در این شبکه می‌پذیرند.

در سیزدهمین جدول ۵، شاخص  $PI_m^{(k)}$  به ازای نصب DG در هر شین آورده شده است. این شاخص میزان تأثیر نصب DG در هر شین را بر کل قیود مسئله هماهنگی نشان می‌دهد. بر این اساس می‌توان شین‌های شبکه نمونه را رتبه‌بندی نمود. برای این منظور شاخص  $PI_m^{(k)}$  به صورت نزولی مرتب گردیده و در جدول ۶ به همراه مکان نصب DG آورده شده است.

جدول ۸: شاخص PCI مرجع [۱۲] به ازای نصب DG در شین‌های مختلف

شبکه ۸ شینه

شماره شین	$\Delta P$	PCI	اولویت‌بندی شین‌ها
۱	۲۸/۰۵	۲۸/۰۵	۵
۲	۹/۳۳	۹/۳/۳	۱
۳	۱۴/۱۲	۱۴/۱/۲	۳
۴	۲۰/۲۲	۲۰/۲/۲	۴
۵	۱۲/۷۵	۱۲/۷/۵	۲
۶	۴۵/۷۵	۴۵/۷/۵	۶

مقایسه نتایج جدول ۸ با جدول ۶ نشان می‌دهد از دیدگاه شاخص  $P_{I^{(k)}}$  و شاخص PCI شین ۲ بدترین شین و شین ۶ بهترین شین برای نصب DG از دیدگاه مسئله هماهنگی بوده است. اولویت‌بندی بر اساس این دو شاخص به‌جز در اولویت ۲ و ۳ کاملاً مشابه است. مطابق جدول ۶، شین‌های ۵ و ۳ دارای شاخص  $P_{I^{(k)}}$  تقریباً یکسانی است که البته با توجه به موقعیت این دو شین در دیاگرام تکخطی و تقارن دیاگرام منطقی به نظر می‌رسد. اما از دیدگاه شاخص PCI شین ۵ اولویت بالاتری نسبت به شین ۳ دارد که البته تفاوت شاخص در این دو شین زیاد نیست.

اما نکته قابل ذکر برای مقایسه این دو شاخص این است که اولاً شاخص پیشنهادی  $P_{I^{(k)}}$  مستقل از تنظیمات رله‌ها اولویت‌بندی را انجام داده، در صورتی که شاخص PCI به تنظیمات بهینه رله‌ها نیاز دارد. ثانیاً به کمک شاخص پیشنهادی  $P_{I^{(k)}}$  می‌توان اولویت‌بندی قیود را نیز مطابق جدول ۴ انجام داد، در صورتی که شاخص PCI اولویت‌بندی را بر اساس تنها شین‌ها انجام می‌دهد. ثالثاً شاخص  $P_{I^{(k)}}$  نیاز به حل مسئله بهینه سازی ندارد و فقط بر اساس جریان خطای عبوری از رله‌ها محاسبه می‌گردد در صورتی که برای تعیین شاخص PCI برای هر شین باید یک مسئله بهینه سازی حل گردد.

#### ۷- نتیجه‌گیری

در این مقاله شاخص جدیدی به منظور ارزیابی اثر DG بر هماهنگی رله‌های اضافه جریان ارائه گردید. این شاخص به صورت تقابل نسبی جریان‌های خطای عبوری از رله‌های پشتیبان و اصلی، مستقل از تنظیمات رله‌های اضافه جریان تعریف گردید. با روابط ریاضی ثابت گردید، شاخص پیشنهادی میزان تأثیر مکان و ظرفیت DG بر فاصله زمانی هماهنگی قیود را به درستی تعیین می‌نماید. نتایج اعمال این شاخص به یک شبکه ۸ شینه نشان داد علامت شاخص پیشنهادی به درستی مشتبی یا منفی بودن تأثیر DG بر قید هماهنگی را تعیین می‌کند. همچنین مشاهده گردید: اندازه شاخص پیشنهادی متناسب با میزان تأثیر نصب DG بر قید هماهنگی است به‌نحوی که هرچه اندازه شاخص بزرگ‌تر باشد به همان نسبت فاصله زمانی هماهنگی برای آن قید در صورت نصب DG بیش‌تر کاهش می‌یابد. علاوه بر این، بهترین

#### ۴-۶- مقایسه نتایج

در این بخش نتایج اعمال شاخص پیشنهادی در این مقاله با [۱۲] مقایسه گردیده است. روش پیشنهادی در [۱۲] دارای دوفاز مستقل است. در فاز اول مسئله هماهنگی رله‌های اضافه جریان بدون حضور منابع تولید پراکنده حل گردیده و تنظیمات بهینه رله‌ها به دست آمده است. در ادامه تنظیمات بهینه به دست آمده در فاز اول، ثابت در نظر گرفته شده و در فاز دوم یک مسئله بهینه سازی دیگر حل گردیده است. در این مسئله بهینه سازی، حداکثر ظرفیت DG قابل نصب در هر شین به نحوی تعیین گردیده که قیود هماهنگی با همان تنظیمات فاز اول برقرار بماند. با توجه به این که در صورت نصب DG، و در نظر گرفتن تنظیمات فاز اول، قیود هماهنگی نقض می‌گردد، لذا در فاز دوم فاصله زمانی هماهنگی CTI کمتر از فاز یک در نظر گرفته شده است. بنابراین در فاز دوم CTI کاهش یافته و حداکثر ظرفیت DG قابل نصب روی هر شین به نحوی تعیین گردیده که قیود هماهنگی با CTI جدید رعایت گردد. سپس با معلوم بودن حداکثر ظرفیت قابل نصب روی هر شین (ΔP) و تغییرات CTI نسبت به فاز اول ( $\Delta CTI$ )، شاخص PCI مطابق رابطه زیر محاسبه شده است:

$$PCI = -\frac{\Delta P}{\Delta CTI} \quad (15)$$

این شاخص برای تمامی شین‌های شبکه محاسبه می‌گردد. هرچه این شاخص برای یک شین بزرگ‌تر باشد به این مفهوم است که تغییرات بیش‌تر ظرفیت DG در آن شین باعث ایجاد تغییرات کمتری در فاصله زمانی هماهنگی گردیده است. به عبارت دیگر هرچه شاخص PCI برای یک شین بزرگ‌تر باشد، نصب DG در آن شین تأثیر کمتری بر هماهنگی رله‌های اضافه جریان داشته است.

در ادامه روش پیشنهادی [۱۲] به شبکه ۸ شینه اعمال گردیده است. با اعمال فاز اول بدون حضور DG مسئله هماهنگی حل گردیده و تنظیمات بهینه رله‌ها به دست آمده است. این تنظیمات قبلاً در بخش

#### ۶- محاسبه گردیده و در جدول ۱ آورده شده است.

برای اجرای فاز دوم روش پیشنهادی [۱۲]، تنظیمات بهینه رله‌ها ثابت در نظر گرفته شده و فاصله زمانی هماهنگی (CTI) از  $0/20$  به  $0/03$  کاهش یافته است. برای هر شین حداکثر ظرفیت DG قابل نصب به نحوی به دست آمده است که قیود هماهنگی رعایت گردد. برای حل این مسئله بهینه سازی ظرفیت DG با گام‌های  $0/01$  مگاوات افزایش یافته و محاسبات اتصال کوتاه انجام شده و قیود هماهنگی بررسی گردیده است. افزایش ظرفیت DG آنقدر ادامه یافته که اولین قید هماهنگی نقض گردد. در این شرایط حداکثر ظرفیت قابل نصب DG به دست آمده است.

روش پیشنهادی [۱۲] برای تمامی شین‌های شبکه ۸ شینه اجرا گردیده و نتایج آن در جدول ۸ آورده شده است.

- and Information Technology (ECTI) Association of Thailand-Conference*, pp. 865-868, 2011.
- [12] H. Zeineldin, Y. R. Mohamed, V. Khadkikar and V. Pandi, "A protection coordination index for evaluating distributed generation impacts on protection for meshed distribution systems," *IEEE Transactions on Smart Grid*, vol. 4, no. 3, pp. 1523-1532, 2013.
- [13] S. A. M. Javadian, M. R. Haghifam, M. Fotuhi-Firoozabad and S. M. T. Bathaei, "Analysis of protection system's risk in distribution networks with DG," *International Journal of Electrical Power & Energy Systems*, vol. 44, no. 1, pp. 688-695, 2013.
- [14] A. Saberi Noghabi, J. Sadeh and H. Rajabi Mashhadi, "Considering different network topologies in optimal overcurrent relay coordination using a hybrid GA," *IEEE Transactions on Power Delivery*, vol. 24, no. 4, pp. 1857-1863, 2009.

زیرنویس‌ها<sup>1</sup> Distributed Generation<sup>2</sup> Protection Miscoordination Index<sup>3</sup> Protection Coordination Index

شین این شبکه که نصب DG در آن مکان کمترین تغییرات در فاصله زمانی هماهنگی تمامی زوج رله‌های اصلی/پشتیبان ایجاد می‌کند تعیین شده است. در انتها زوج رله‌های از این شبکه نمونه که نصب DG بیشترین تأثیر بر هماهنگی آن‌ها دارد به کمک شاخص پیشنهادی تعیین گردیده است.

## مراجع

- [1] J. M. Gers and E. J. Holmes, *Protection of Electricity Distribution Networks*, 2nd ed, ser. IEE Power and Energy Series 47. London, U.K.: IEE, 2004.
- [2] A. J. Urdaneta, R. Nadira and L. G. Perez, "Optimal coordination of directional overcurrent relays in interconnected power systems," *IEEE Transactions on Power Delivery*, vol. 3, no. 3, pp. 903-911, 1988.
- [3] نبی طاهری، رحمت‌الله هوشمند و رضا همتی، «برنامه‌ریزی هماهنگ نصب منابع تولید پراکنده و توسعه شبکه توزیع در حضور نامعینی بار و قیمت انرژی»، مجله مهندسی برق دانشگاه تبریز، دوره ۴۴، شماره ۱، صفحه ۴۳-۵۶، بهار ۱۳۹۳.
- [4] سعید عباپور، کاظم زارع و بهنام محمدی ایواتلو، «ارزیابی جنبه‌های فنی و اقتصادی شبکه توزیع با هدف توسعه DG بر مبنای کاربرد مدیریت اکتشاف در شبکه»، مجله مهندسی برق دانشگاه تبریز، دوره ۴۴، شماره ۴، صفحه ۳۵-۴۵، زمستان ۱۳۹۳.
- [5] J. Gomez, J. Vaschetti, C. Coyos and C. Ibarlucea, "Distributed generation: impact on protections and power quality," *IEEE Latin America Transactions*, vol. 11, no. 1, pp. 460-465, 2013.
- [6] H. Yazdanpanahi, Y. Li and W. Xu, "A new control strategy to mitigate the impact of inverter-based DGs on protection system," *IEEE Transactions on Smart Grid*, vol. 3, no. 3, pp. 1427-1436, 2012.
- [7] M. A. Haj-Ahmed and M. S. Illindala, "The influence of inverter-based DGs and their controllers on distribution network protection," *IEEE Transactions on Industry Applications*, vol. 50, no. 4, pp. 2928 -2937, 2014.
- [8] S. Chaitusaney and A. Yokoyama, "Prevention of reliability degradation from recloser-Fuse miscoordination due to distributed generation," *IEEE Transactions on Power Delivery*, vol. 23, no. 4, pp. 2545-2554, 2008.
- [9] P. H. Shah and B. R. Bhalja, "New adaptive digital relaying scheme to tackle recloser-fuse miscoordination during distributed generation interconnections," in *IET Generation, Transmission & Distribution*, vol. 8, no. 4, pp. 682 -688, 2014.
- [10] A. F. Naiem, Y. Hegazy, A. Y. Abdelaziz and M. A. Elsharkawy, "A classification technique for protection coordination assessment of distribution systems with distributed generation," *IEEE Transactions on Power Delivery*, vol. 27, no. 1, pp. 176 -185, 2012.
- [11] N. Pholborisut, T. Saksornchai and B. Eua-arporn, "Evaluating the Impact of Distributed Generation on Protection System Coordination Using Protection Miscoordination Index," *The 8th Electrical Engineering/Electronics, Computer, Telecommunications*

